

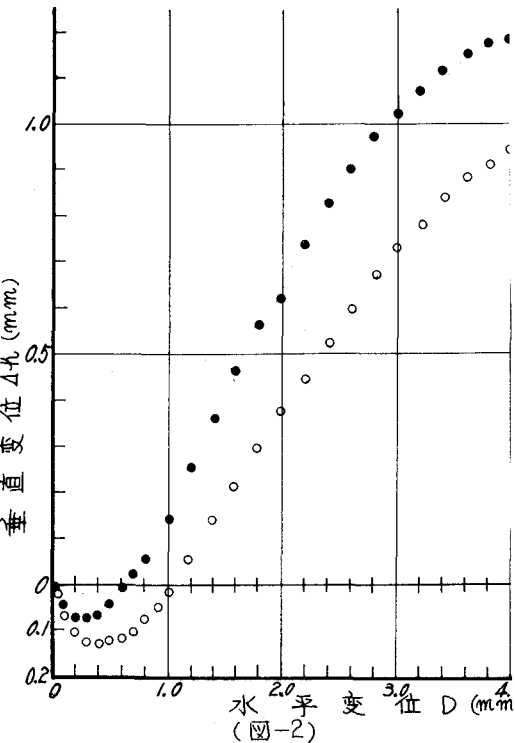
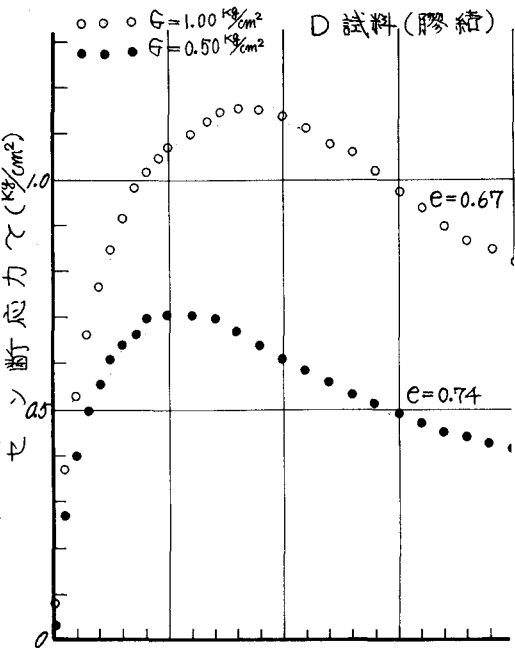
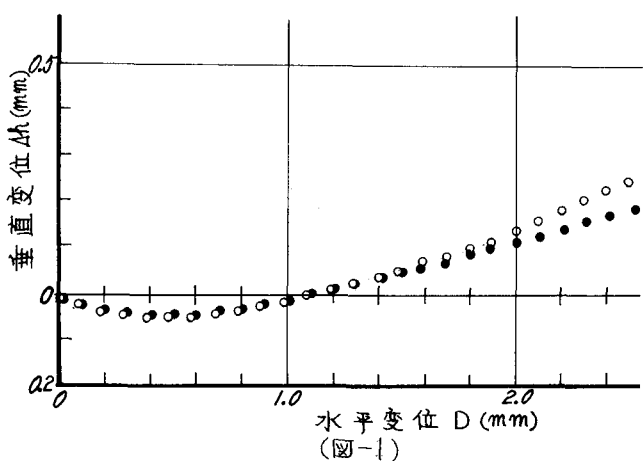
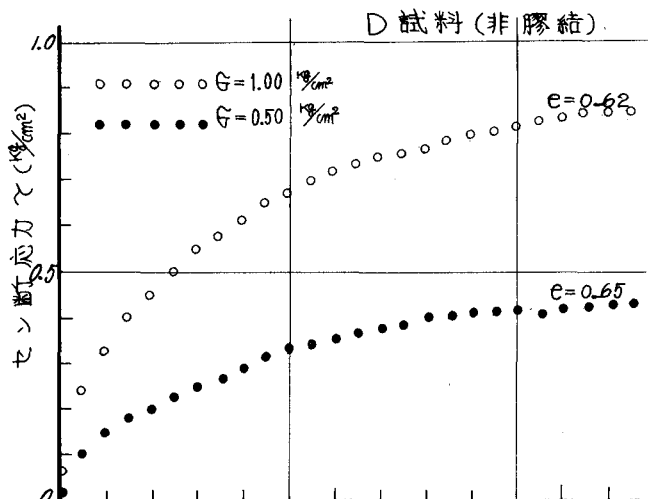
III-196 砂質土の膠結および解膠現象に関する一実験。

大阪工業大学 正員 因 嶽

当研究で取扱っている膠結および解膠についてはすでに発表し  
てあるのでそれを参考されたい。<sup>1)</sup>

今回の実験目的は毛管吸水および水頭差に もとづく透水のそれ  
によつて発生する解膠現象後の一箇セン断強度を測定し、それ  
からえられた強度定数  $C$  と中が膠結および非膠結時のそれとの  
ように相違するかを比較検討することである。

試料は昨年の当講演概要集<sup>2)</sup>に記述したものと同じものを使用し  
た。すなわち粒径 0.2(A) 0.4(B) 1.0(C) 2.0(D) % マガラスビーズと市販のカオ  
リンを 100:15 の割合で空隙り混合したものに、両混合重量の 10%  
に相当する過化マグネシウム 5% 溶液を加えて練りあげた。



非膠結試料は練りあげたのち直径6mm、高さ2mmのセン断リング中に150gで静的に締固めたものを用い、膠結試料とは上述の試料を110°Cで24時間乾燥したものである。解膠一面セン断試験は土質試験法P.加一図5.3.5に記載された改良型一面セン断試験機を使用し、セン断箱底部のポーラストン表面が水で満れてくる位置にピュレットを水平に設置し、吸水量と毛管吸水現象の終了とを観測できるようにした。また水頭差による透水はこの回路中に垂直なピュレットを組み込む。

こゝによつて行はつた。

実験結果は紙面の都合でA試料(粒径0.2mm)とD試料(粒径2mm)

に関する非膠結と膠結試料に関するD.およびd-D曲線(図-1, 2, 3, 4)にこれらの一G図中に両試料の解膠現象後のd-G曲線を加えて示した。(図-5, 6)

これらの結果によれば、先ずD試料(粒径2mm)の場合、非膠結状態のセン断は(図-1)からも明らかに粘性流動的挙動を示す。この原因としてはガラスビーズ表面に付着したカオリיןの薄膜の影響によるものと考えられる。

同じようなことはA試料(粒径0.2mm)の非膠結状態にも見られる。(図-3)

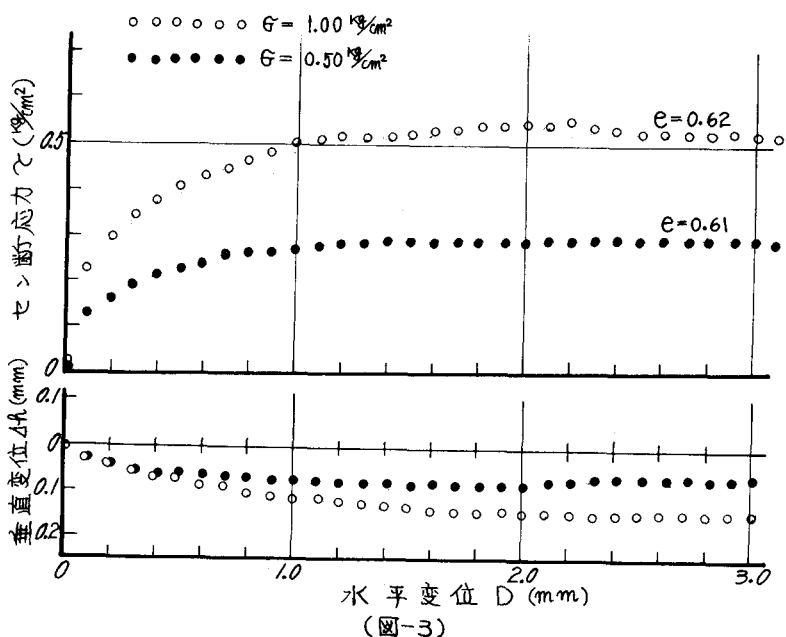
次に膠結状態におけるD試料では底砂のセン断特性と同じ傾向を示す。これがれば膠結現象によって生じた粒子間の結合は僅かの水平変位によって破壊され、その後のセン断抵抗は粒子のインターロッキング作用やさざがりおよびすべり・ささ抵抗などによるものと思われる。

(図-2) 同じようなことは膠結されたA試料についても見える。(図-4)

しかしA試料の場合、膠結によるセン断抵抗の消失した後はD試料のようないくつかのインターロッキング作用や他のささ抵抗を示さないと思われる。

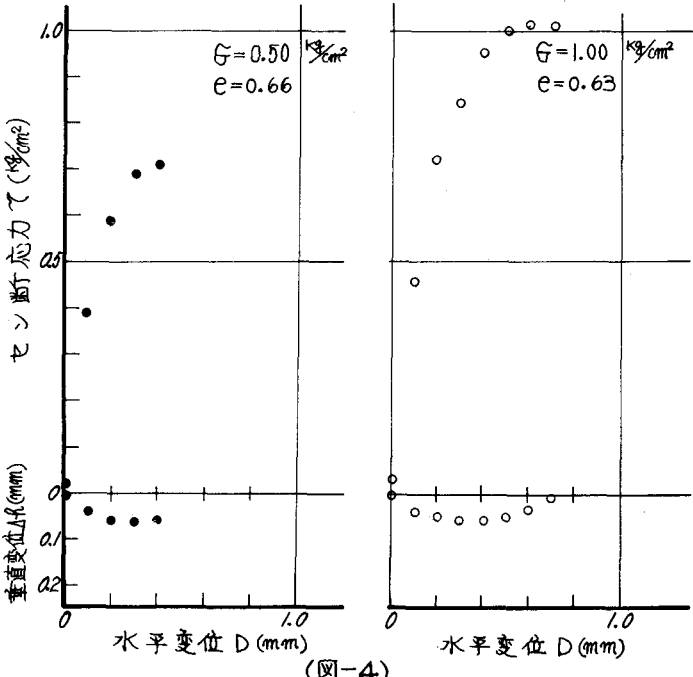
このことから粒径の大きいD試料(粒径2mm)のセン断強度は中の要素による強度の影響を強く示す。従つて(図-5)

### A 試料(非膠結)



(図-3)

### A 試料(膠結)



(図-4)

における中角は膠結や解膠などによって左右されない傾向を示す。

これにひきかえ(図-6)によれば、A試料のように粒径の小さな場合、その粒子表面積の増加とともによう膠結作用の影響も大きくなりとも、解膠作用による強度の消失はかなりのものとなる。

(図-6)

なお(図-5, 6)において留意すべきことは毛管吸水による鮮膠後のせん断強度と非膠結試料と比較した場合、その強度にあたえる影響が相違していふことである。

すなわちA試料ではカオリンによって形成される毛細管の強度に対する影響がかなり顕著であると考えられる。従って毛管吸水による解膠後の強度は非膠結のそれよりも低くなるのであろう。(図-6)

以上は解膠現象に関する初步的な実験結果の一部分である。

今後はさらに粒径や粒度および膠結剤の種類などを検討しつゝ研究をすすめたいと考えております。

#### 参考文献

1) 岡 嶽：砂質土の膠結作用に関する一実験。  
土木学会第27回年次学術講演会概要集(S41年10月)III-183

2) 岡 嶽：膠結および解膠状態における粒状物質のせん断特性について。  
土木学会第28回年次学術講演会概要集(S42年10月)III-42

